

□ 特輯 : 代替에너지 □

核融合 發電

韓 強 淳

(韓國에너지 研究所長)

■ 차

- 1. 序論
- 2. 核融合反應
- 2.1 核融合의 原理
- 2.2 核融合反應의 實際
- 2.3 熱核融合의 達成條件

- 3. 核融合爐開發의 現況과 展望
- 4. 核融合爐의 構成
- 5. 核融合發電의 意義
- 6. 結論
- 參考文獻

① 序論

文明이 發達하고 人口가 늘어남에 따라 에너지 消費量은 1850 年 以後 一世紀當 10 倍 以上의 增加率을 보이고 있으며 20 世紀에 들어 서면서 그 增加率은 더욱 急激함을 보이고 있다. 이미 잘 알려져 있는 바와 같이 人類가 使用해 왔던 石油, 石炭등의 化石燃料는 埋藏量이 거의 枯竭狀態에 있으며 今世紀 중반부터 實用化된 核分裂爐는 自然우라늄의 0.7% 밖에 存在하지 않는 U-235 代身에 現在 대부분을 버리고 있는 U-238을 燃料로 하는 高速增殖爐의 開發를前提로 할 때 燃料의 埋藏量은 數世紀를 蓋 수 있는 量이 된다고 보겠다. 따라서 火石燃料와 核分裂爐는 限定된 燃料埋藏量과 環境汚染의 慮慮때문에 今世紀末부터 다음世紀까지의 에너지空白期에 主에너지源으로서의 口實을 다한 후에는 새로운에너지源에 그 자리를 넘겨줘야 할 것으로 생각되고 있다. 다음世代의 새로운 에너지源으로서 가장 큰期待를 모으고 있는 것 중의 하나가 바로 核融合이다. 核融合은 環境汚染物質의 排出이 적고 燃料確保가 比較的 쉬우며 埋藏量이 거의 無限하고 單位質量當放出에너지가 매우 높은 것이 特徵이다.

核融合發電의 實用化는 빠르면 2010년경에, 늦어도 2020 年代에는 可能해 질 것으로 展望되고 있다. 本

稿에서는 核融合의 原理, 核融合爐가 滿足해야 할 條件, 核融合爐의 構造, 核融合爐의 開發現況과 展望 및 核融合發電의 意義等에 關해서 簡略하게 살펴보기로 한다.

② 核融合反應

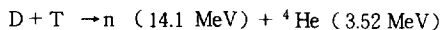
2.1 核融合의 原理

化石燃料를 태울때의 化學反應에너지는 電子의 結合에너지가 放出되는 反面 核分裂이나 核融合의 경우는 核子들 즉 中性子와 陽性子들 사이의 核力이 反應生成物의 運動에너지로 放出된다. 核分裂은 우라늄과 같은 質量이 큰 原子核이 보다 가벼운 原子核들로 갈라지는 것이며 核融合은 水素나 氦를 和 같은 가벼운 原子核들이 보다 무거운 原子核으로 되는 現像이다. 核分裂은 무거운 原子核과 實溫의 中性子가 만나는 것 만으로도 일어 날 수도 있지만 核融合의 경우는 陽電荷를 띠고있는 두 原子核을 結合시키기 위해서 Coulomb 斥力を 이길 만한 充分한 運動에너지로 人為의으로 供給해 주어야 한다. 바로 이점이 核分裂爐의 順調로운 實用화와는 달리 核融合商用爐의 建設時期를 21 世紀中반까지 遲延시키는 根本의 理由가 되고 있다.

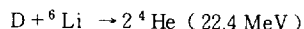
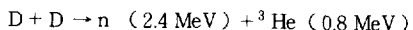
核融合反應의 種類는 여러 가지가 있겠으나 이중 現實的으로 중요한 몇 가지 反應의 特性은 表 1에서

Ⅱ 1. Various fusion reactions

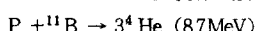
Classical Fusion Fuel



Conventional Advanced Fusion Fuels



Exotic Advanced Fusion Fuels



보는 바와 같다. 表에서 알 수 있듯이一般的으로 單位質量當反應에너지가 매우 높다. 一例로 D-D反應의 경우 重水素 1 Kg 이 完全히 核融合反應을 일으킬때 放出되는 에너지는 $8.6 \times 10^{13} \text{ J}$ 에 달한다. 이는 10 만 MW 發電所가 10 日에 걸쳐서 發電한 電力量이 該當한다. 여러가지 核融合反應의 種類 중 어떤 것을 選擇할 것인가는 燃料確保의 容易性, 核融合反應의 點火溫度, 單位質量當의 放出에너지, 反應生成物의 種類등에 의해 決定된다. D-T (重水素-三重水素) 燃料는 點火溫度가 4 KeV 程度로서 가장 낮고 같은 温度에서 出力密度가 가장 높아 自然的으로 存在하지 않는 三重水素를 人工的으로 生產할 必要性과 高速中性子의 發生이라는 脆弱點에도 불구하고 第一世代 核融合爐의 基本的燃料로서는 D-T를 使用하게 될 것이 거의 確實시 된다.¹⁾

2.2 核融合反應의 實際

太陽은 核融合에 의해 每秒 約 $4 \times 20^{20} \text{ MW}$ 的 熱을 放出하고 있다. 太陽의 中心部는 99 %의 水素와 약간의 헬륨으로 구성되어 있고 中心溫度는 약 2000 만도, 密度는 약 150 g/cm^3 , 圧力은 약 $4 \times 10^{11} \text{ 氣压}$ 으로 이러한 條件에서는 水素核끼리 100 억년에 1 회정도의 確率로 核融合을 緩慢히 일으켜 에너지를 계속放出하는 것으로 생각하고 있다. 한편 太陽보다 더 큰 天體에서는 炭素 및 室素에 의한 核融合反應이 主에너지源이 되는 것으로 推定하고 있다. 이들의 경우 核fusion反應이 일어 날 수 있는 條件은 매우 큰 重力에 의해서 可能하다.²⁾ 이때 反應에너지와 放出에너지의 平衡을 이루고 있으며 外部로 부터 에너지 供給없이 自體의으로 持續

的인 核融合條件의 維持가 可能한 것이다. 이와 같은 경우를 热核融合이라 한다. 地球上에서도 热核融合을 일으킬 수 있을 것이라는 생각은 天體物理學의 副產物로始作된 것인데 實제로는 狀況이 전혀 틀려서 모든 核融合條件를 인위적으로 만들어 주지 않으면 않된다. 人工的인 热核融合의 實現은 1952年 美國의 水素爆彈實驗의 成功에 의해 이루어졌다. 水素爆彈은 重水素와 三重水素를 原爆주위에 設置하여 原爆의 爆發에너지에 의해 순간적으로 加熱되도록 만든 것으로 이때 核融合燃料는 核分裂燃料와는 달리 連鎖反應이 일어나지 않으므로 臨界質量이라는 概念이 없으며 단지 充分한 温度까지 加熱해주는 것만이 必要하다. 核融合에너지의 實用化하기 위해서는 核融合反應이 우리가 원하는 量만큼 일어나게 하는 制御核融合이 實現되어야 하므로 現在 많은 나라에서 이러한 研究를 활발히 遂行하고 있다. 表 2에서는 核融合에 의해 에너지가 發生되는 太陽, 水素爆彈, 核融合爐의 3 가지 경우에 대해 簡略하게 比較하였다.

2.3 热核融合의 達成條件

热核融合을 人工的으로 達成하기 위해서는 核融合反應核들의 温度를 充分히 높여서 (D-T의 경우 約 1 억도) 核融合反應率을 크게 하며, 粒子密度 (n) 와 全體系의 에너지 密閉時間 (τ) 을 늘려서 核融合反應出力を 높이는 반면 에너지 損失率을 낮추어야 된다. 核融合反應이 自發的으로 持續되기 위해서는 에너지入力과 核融合反應出力의 合이 에너지 損失率보다 작아져서는 안된다. 이러한 條件들을 数值化한 것이 Lawson 條件으로서 D-T의 경우 적어도 $n\tau > 10^{14} \text{ s/cm}^3$ 을 만족해야된다.

重水素나 三重水素는 常温에서는 2 原子分子의 氣體狀態이지만 温度가 数萬度以上이 되면 分子의 結

表 2. Production of fusion energy

| | Fusion Fuel | Temp. (°c) | Density (cm ⁻³) | Reaction Time |
|----------------|---------------------|-----------------|------------------------------|---------------------|
| Sun | ○ H | 2×10^7 | 150 g | ∞ |
| H-bomb | ○ D | 1×10^7 | 2 g | 10^{-9} s |
| Fusion Reactor | ○ D ○ T ○ ○ T | 2×10^8 | $2 \times 10^{-7} \text{ g}$ | $> 1 \text{ s}$ |

合이 끊어지는 것은 물론 壳電子들이 모두 떨어져 나가 陽電荷를 갖는 核들과 電子들이 속적으로 平衡을 이루는 플라즈마가 형성된다. 常溫에서 1 氣圧의 氣體를 一定容器에서 1 억도로 加熱하면 圧力은 약 35 萬氣圧이 되므로 어떤 物質로 만든 容器도 이런 高溫, 高圧의 플라즈마를 닦고 있을 수 없게 된다. 또한 核融合反應率이 너무 커서 이를 制御하는데 큰 어려움이 있으며 根本的으로는 이와 같은 플라즈마를 發生시킨다는 것 자체가 不可能하다. 따라서 核融合反應物質을 보통 10^{-6} 氣圧 程度로 稀薄하게 만들고 이를 電氣放電等에 의해 플라즈마로 만든 후 磁力線內에 密閉시키는 方法을 使用하든가 反應物質을 固體化하여 Laser나 電子빔등으로 強力한 에너지를 投入, 雖然적으로 加熱하여 核融合反應을 일으키는 方式을 使用한다. 前者를 磁場密閉方式 (Magnet Confinement), 後者를 慣性密閉方式 (Inertial Confinement) 라고 한다.

플라즈마粒子들은 不斷한 衝突에 의해 孤立系 밖으로 빠르게 擴散되어 나가는 性質을 가지고 있다. 粒子들의 擴散速度는 系의 크기에 反比例하므로 에너

지密閉時間은 길게 해서 Lawson 條件을 만족시키도록 하려면 플라즈마의 크기가 어느 基準以上이 되어야 하며 따라서 核融合爐의 規模도 어떤 制限值以上이 되어야 함을 쉽게 알 수 있다.

Lawson 條件은 다른 말로 臨界플라즈마 條件이라고도 하는데 이는 단지 核融合爐의 物理的인 可能性을 가능하는 最少基準에 불과하다. Lawson 條件을 겨우 만족하는 核融合爐는 自己自身의 热出力を 電力으로 바꾼후 이를 모두 플라즈마에 入力시켜야 하므로 外部로 내보내는 純出力은 전혀 없게 된다. 核融合爐가 商業的으로稼動되기 위해서는 核融合爐의 热出力を 外部로 供給하더라도 플라즈마의 温度는 核融合反應生成物中 荷電粒子들 (D-T의 경우를 包含하여 대부분이 α -粒子들임) 的 에너지에 의해 維持되어야 한다. 이 條件을 自己點火 條件이라 부르며 이는 核融合爐의 窮極的인 動作領域이 된다.

③ 核融合爐開發의 現況과 展望

水素爆彈實驗이 成功한 같은해 美國 Princeton 大

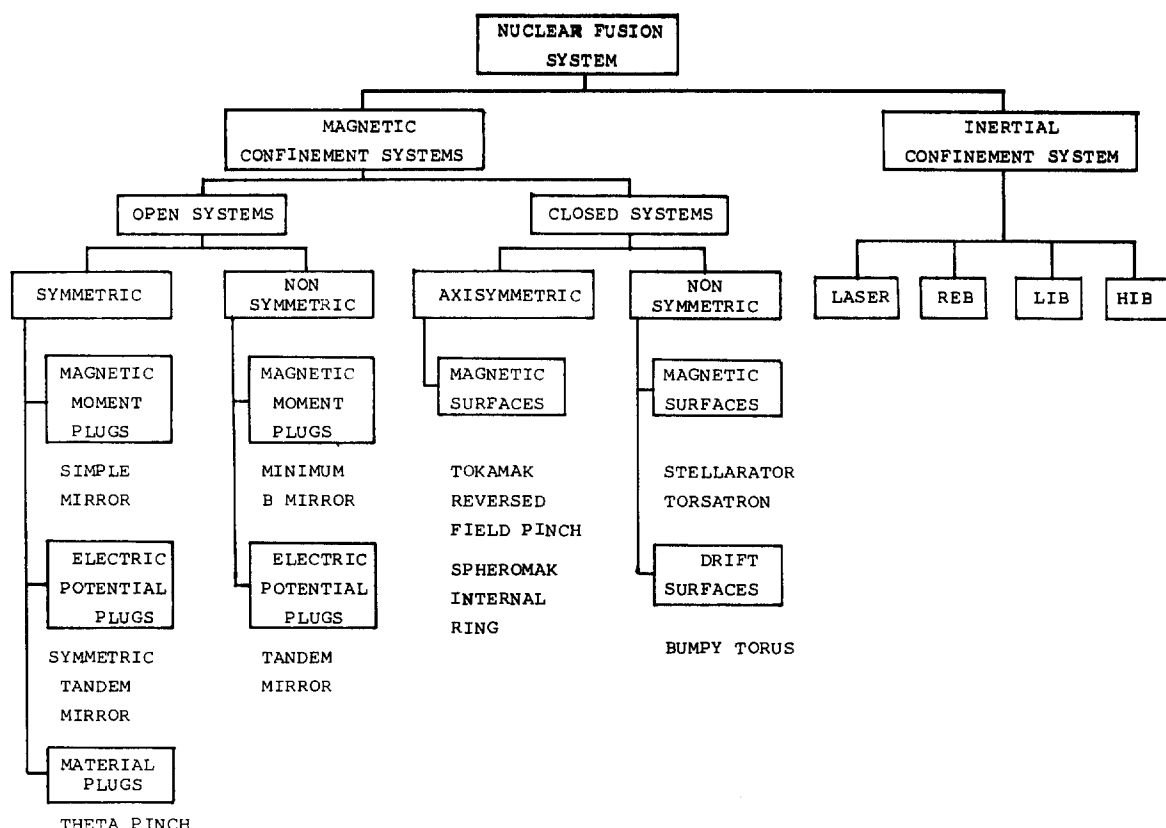


그림 1. The Taxonomy of fusion confinement systems

學의 Spitzer 에 의해 8 字型의 Stellarator B - 1 實驗이 制御核融合研究의 始作이라고 할 수 있다. 그以後 美國, 소련, 유럽 및 日本 등에서 여러가지 形態의 核融合裝置들이 研究되어 왔다. 現在 研究되고 있는 核融合裝置들을 플라즈마의 密閉方式에 따라 分類하면 그림 1에서 보는 바와 같다.

核融合裝置들의 實驗目的은 核融合爐開發에 必要한 物理的, 工學的 基礎資料를 얻고 또 核融合爐條件에 接近할 수 있도록 裝置들을 改善해 나가는데 있다. 그림 2는 主要核融合裝置들의 成果 및豫想되는 進展度를 Lawson 條件 ($Gain = 1$) 과 對比하여 나타낸 것이다. 裝置名중 Helios, Shiva, Nova 등은 Laser에 의한 慣性密閉方式의 核融合實驗裝置이고 2X - II B는 Mirror 裝置의 한種類이며, 나머지 裝置들은 Tokamak 裝置들이다.

한편 核融合裝置들의 理論 및 實驗的研究와 並行

하여 科學的 實證爐에서 商用爐에 이르는 여러段階의 核融合爐에 대한 概念設計, 詳細設計 및 建設이 推進되어 왔다. 製作이 이미 完成되어 實驗중에 있는 美國의 TFTR을 비롯해서 유럽共同體의 JET, 日本의 JT - 60 및 소련의 T - 15 등은 85 ~ 6 년경에 Lawson 條件의 達成을 目標로 하고 있는 大型 Tokamak 裝置들이다.³⁾ 科學的 實證爐 다음段階인 工學的 實證爐로서는 IAEA 主管下에 위의 4個研究그룹이 共同으로 INTOR를 詳細設計중에 있다. 한편 経濟的 및 環境에 대한 妥當性을 立證하기 위한 原型爐 및 商用爐의 概念設計도 많이 遂行되고 있다.

核融合爐 水準에서 플라즈마條件에 도달하려는 成果度 側面에서 볼때 Tokamak 方式이 現在까지는 가장 앞서 있으며 그 다음이 Tandem Mirror 方式이라 하겠다. 이외에도 Stellarator, RFP, Spheromak ELMO Bumpy Torus 등이 그 뒤를 따르

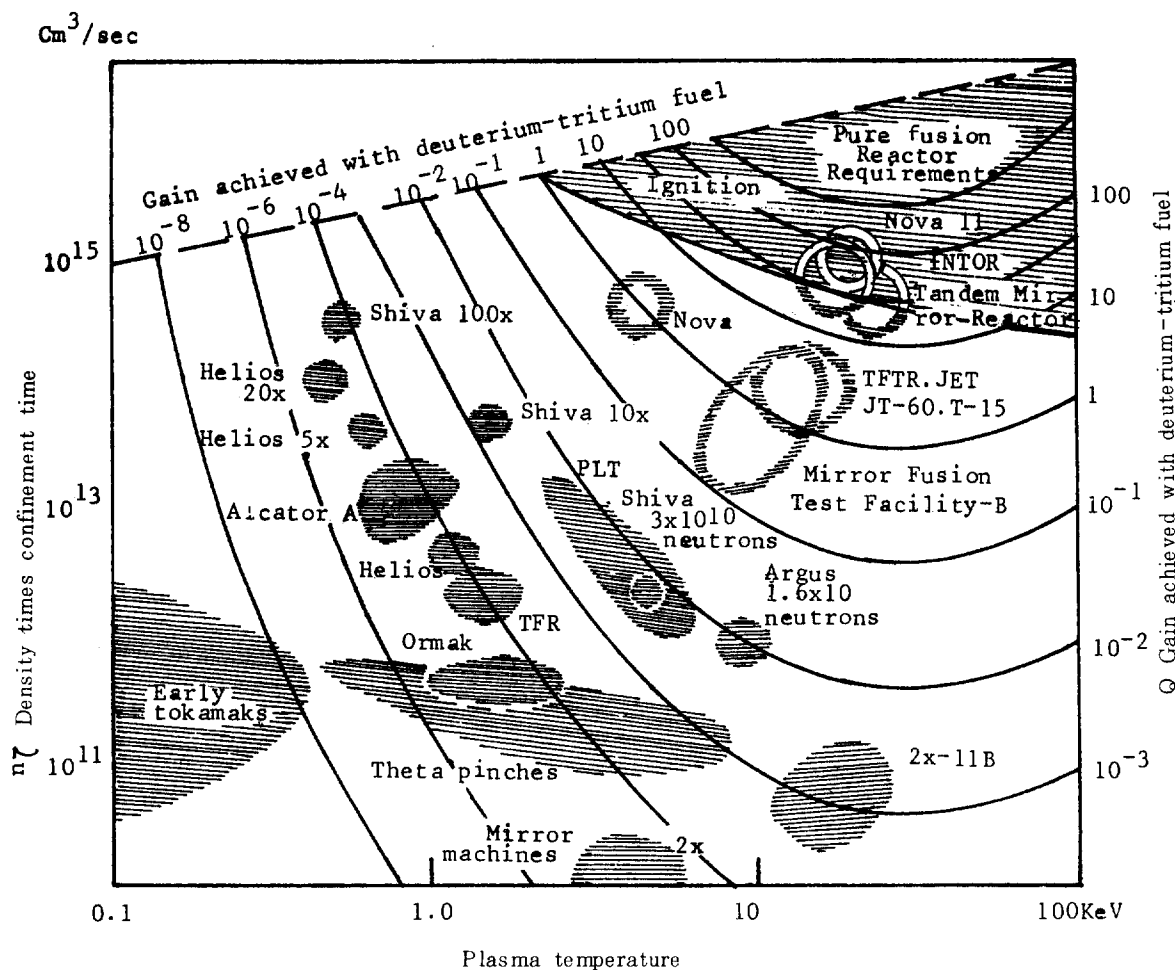


그림 2. Progress of various fusion devices

고 있다.⁴⁾

慣性密閉方式의 核融合研究는 아직까지는 軍事的인 目的과 関聯해서 Laser 나 Ion 범등 주로 Driver의 性能向上에 主力해 왔으므로 核融合爐開發과 関聯된 成果는 磁場密閉方式에 비해 쳐져있다.

Tokamak 은 그림 3 과 같이 도너스型의 密閉容器 속에서 플라즈마를 發生시켜 容器의 縱軸에 平行한 磁場과 플라즈마電流에 의해 發生되는 磁場의 合成에 의해 密閉하도록 되어있다. Tokamak의 特徵은 플라즈마의 높은 安定性과 平衡維持機能에 의해 플라즈마의 에너지密閉時間이 긴 것이라 하겠다. 반면에 플라즈마發生 및 加熱을 주로 磁場變化에 의존하기 때문에 連續運轉이 어렵다는 短點이 있다.

Tandem Mirror 는 그림 4 와 같이 중앙의 Sole-noid 양끝에 Yin - Yang 코일을 각각 設置한 것이다. 플라즈마는 양끝의 強한 磁場과 電位差에 의해 密閉된다. 이 方式은 密度가 높은 플라즈마를 連

續的으로 維持할 수 있는 반면 主軸을 따라 에너지가 큰 粒子들이 잘 빠져나간다는 短點이 있다.

비록 現在까지 Tokamak 이 가장 좋은 實驗結果를 얻고 있고, Tokamak에 의한 核融合爐의 科學的 實證이 거의 확실시되며 또한 核融合商用爐의 概念設計도 거의가 Tokamak 型으로 이루어지고 있으나 아직까지는 Tokamak의 實用化를 장담할 수는 없다. 이는 工學水準面에서 核融合商用爐의 그것과는 큰 隔差가 있기 때문이다.

核融合爐開發과 関聯하여 密閉方式에 関係없이 계속적인 研究開發이 必要한 基本의 分野는 磁場코일技術, 플라즈마加熱技術, 材料工學, 三重水素関聯技術, 電氣 및 構造力學등이다.^{5), 6)}

磁場코일技術開發은 주로 強磁場 및 變化率이 큰 磁場에 適用될 수 있는 超電導體를 開發하는 것에 침중되어 있으며, 플라즈마 加熱技術開發에는 수십 MHz에서 數倍 MHz에 이르는 넓은 領域에 걸친 電磁氣波의 電源, 導波管 및 發射體등에 関한 技術開發과 數拾 MW 수백 KeV에 달하는 中性粒子加熱裝置開發이 包含되어 있다.

核融合爐의 材料로는 第一壁의 構造材, 冷却材, 三重水素增殖材등의 力學的, 熱的 및 核的 特性들의 紛明이 課題로 남아있다.

1 GW 級 核融合爐의 경우 三重水素의 流量은 時間當 수백 g 정도가 된다. 이와 関聯해서 多量의 三重水素를 生產, 回收, 精製 및 貯藏施設이 要求되어 또한 核融合爐의 運轉을 위해 必要한 수백 MW의 電力設備 및 貯藏施設의 開發과 아울러 10^{10} N · m에 달하는 토크를 適用할 수 있는 構造物에 대한 技術開發도 계속되어야 할 것이다.

한편 우리나라에서의 核融合研究는 이제 막 胎動하려는 狀態에 있다. 各種 密閉方式에 대한 理論的研究와 一部 核融合實驗裝置의 製作 및 基礎實驗이 遂行되고 있다. 特히 Tokamak 裝置는 韓國에너지研究所와 서울大學校에서 研究用으로 製作되고 있으며 先進國의 核融合研究實績의 綜合的 分析을 目的으로 核融合爐의 概念設計作業도 進行되고 있다.

4 核融合爐의 構成

核融合爐의 基本의 構成은 爐心의 核融合플라즈마, 燃料의 渦度를 核融合點火溫度까지 높여주는 加熱系, 核融合플라즈마를 주위로부터 隔離시켜 주는 密閉容器, 不純物制御系, 核融合反應에너지回

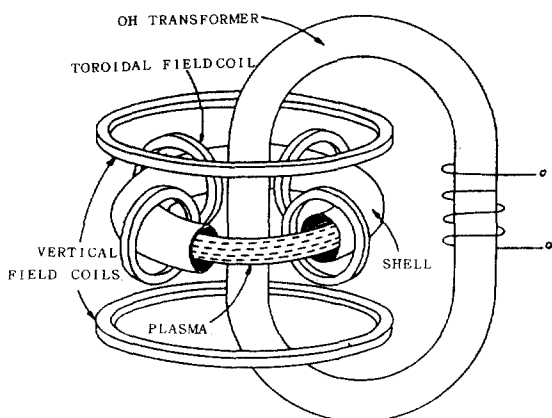


그림 3. Basic components of a Tokamak

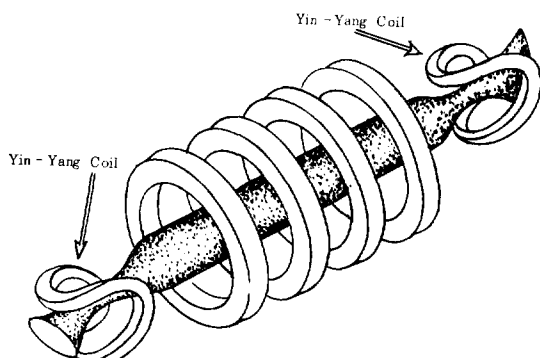


그림 4. Tandem mirror

收하기 위한 冷却系 및 热交換系, 이를 電氣로 变換시키는 電力系, 燃料生産 및 回收系, 真空排氣系, 플라즈마計測 및 運轉制御系등으로 이루어져 있다.

磁場密閉方式의 경우에는 磁場系가 包含되는데 이는 가장 복잡한 構造를 가지고 있는 部分으로서 核融合爐의 組立, 補修 및 交替를 어렵게 만들고 建設費를 높이는 결정적인 要因이 된다. 그러나 앞에서 언급했듯이 Tokamak나 Tandem Mirror 등 磁場密閉方式의 核融合裝置들이 物理的인 成果面에서 앞서 있고 核融合爐의 概念設計作業도 활발히 進行되고 있어 第一世代 核融合爐는 磁場密閉方式으로 建設될 것이 確實하다. 그림 5는 D-T를 燃料로 使用하는 磁場密閉方式에 의한 核融合爐의 構造를 보이고 있다.

核融合플라즈마를 加熱하는 方法에는 放電을 통한 Joule 加熱, 高速中性粒子 (NBI) 加熱 및 各種 電磁波 (RF) 加熱이 있다. Joule 加熱은 基本的인 加熱方法으로서 플라즈마를 發生시켜 温度를 수 KeV 까지 높이는데 使用되고 이를 더 높은 温度로 加熱하는데는 NBI나 RF를 사용하게 된다.

플라즈마粒子들이 擴散되어 容器의 壁에 부딪히면 壁材料가 損傷을 입어 壽命이 短縮될 뿐만 아니라 壁

에서 放出된 不純物에 의해 플라즈마 温度가 낮아지게 된다. 반면에 플라즈마가 保有하고 있는 核融合反應エネルギー를 外部로 뽑아내기 위해서는 反應生性物과 容器壁의 接觸은 不可避하다고 하겠다. 따라서 容器壁의 表面層은 높은 에너지를 가진 各種粒子들의 衝突에 따른 Sputtering 效果가 적고 機械的強度, 热的特性 및 放射線에 대한 抵抗性이 좋은 材料로 만들어져야 한다. 플라즈마와 直接接觸하는 表面層을 第一壁이라 부르며 이는 核融合爐의 壽命을 결정하는 중요한 要因이기도 하다. 容器壁의 바깥쪽은 核融合反應生成物들의 運動을 阻止시켜 그運動에너지를 热에너지로 바꾸어 蓄積해 두는 Blanket이라고 하는 層으로 이루어져 있다. Blanket에서는 中性子增倍 및 三重水素增殖도 이루어진다. Blanket 内部를 지나는 管을 통해 冷却材를 循還시킴으로서 热에너지를 核融合爐 爐心外部로 輸送하게 된다. 이 以後의 热交換 및 發電過程은 既存의 發電所와 大同小異하다.

플라즈마의 密閉磁場을 生成시키는 磁場코일은 爐心에서 제일 바깥쪽에 密閉容器를 감싸는 方向으로 設置되며 磁場코일과 密閉容器사이에는 放射線 및 热遮蔽物이 設置되어 超電導體로 만들어진 磁場코

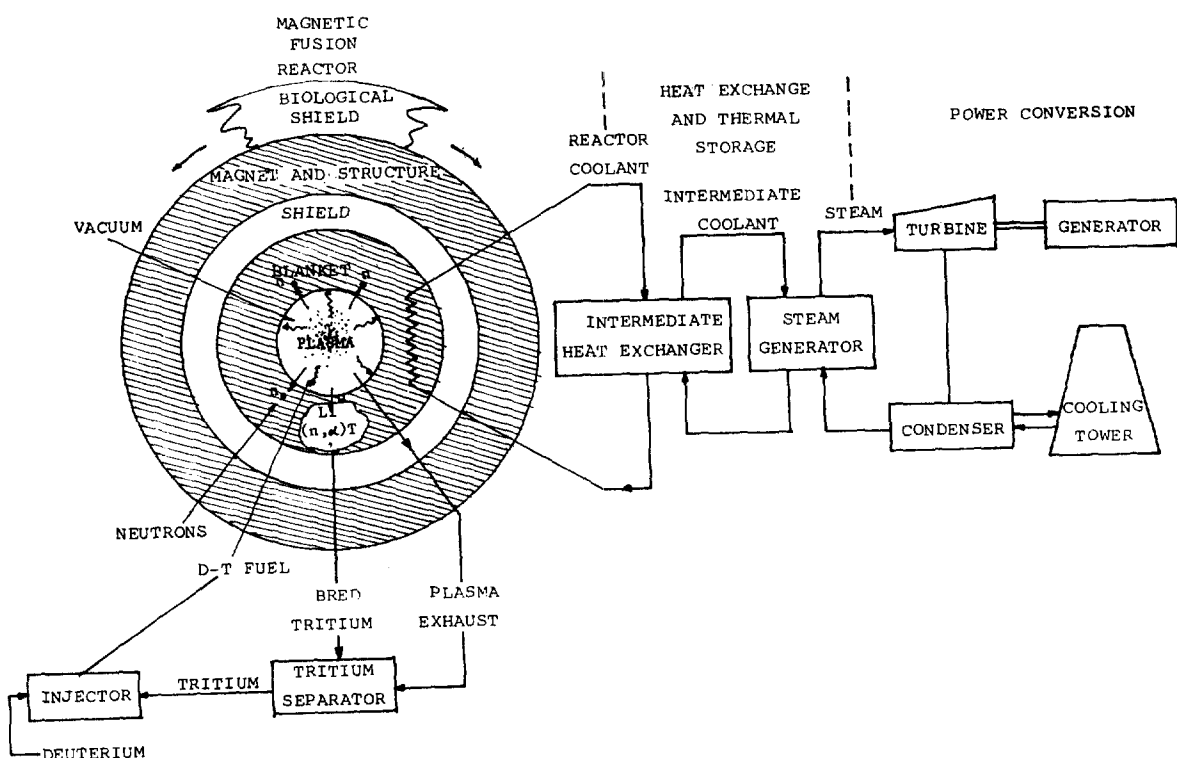


그림 5. Schematic diagram of a fusion power plant

일을 放射線傷害 및 常導體로의 遷移를 막아 주게 된다. 核融合反應生成物, 未燃燒重水素 및 三重水素와 壁에서 放出된 不純物들을 爐心밖으로 排出시키기 위해 Divertor나 Pumped Limiter를 使用하게 된다. Divertor는 磁力線을 爐心밖으로 헤어지도록 만든 것이며 Pumped Limiter는 粒子들의 自然的인 擴散을 利用하는 것이다.

燃料로 使用되는 三重水素는 自然的으로는 存在하지 않으며 또한 放射性物質이므로 真空排氣系로 부터 다시 回收하여 再使用하게 된다. 또 Blanket에서 中性子와 Lithium-6와의 反應에 의해 生成된 三重水素도 分離回收하게 된다.

그림 6은 美國 Argonne 國立研究所에서 設計한 Tokamak型 核融合商用爐인 STARFIRE의 裝置構成圖이다. STARFIRE는 플라즈마理論 및 實驗들의 主要結果들과 앞으로 開發될 可能성이 있는 거의 모든 概念과 技術들을 總網羅하고 있어서 現在까지의 核融合研究水準을 가장 잘 把握할 수 있다.

表 3은 STARFIRE의 設計에 使用된 主要概念들을 간추린 것이며, 表 4는 STARFIRE 및 다른 Tokamak型 核融合爐들의 主要特性을 比較하고 있다. STARFIRE의 發電單價는 1980年基準으로 35 ~ 40 mils / Kwh로 추정된다.⁷⁾

核融合爐가 實用化될 때까지 實際로 解決해야 할 技術的課題가 山積해 있지만 現在 생각되고 있는 核融合爐의 基本的構成이나 主要 체원 및 動作原理는 앞으로 完成될 核融合商用爐의 그것과 큰 差異가 없을 것으로 보인다.

5 核融合發電의 意義

인간이 삶을 榮위하고 社會가 發展되기 위해서는 한 瞬間도 에너지가 必要치 않는 경우란 없을 것이다. 에너지의 必要量은 그 時代, 그 社會의 人口 및 生活水準등에 의해決定된다. 現在 全世界의 에너지 消費量은 年間 $0.3 \sim 0.4 Q (= 1.055 \times 10^{21} J)$

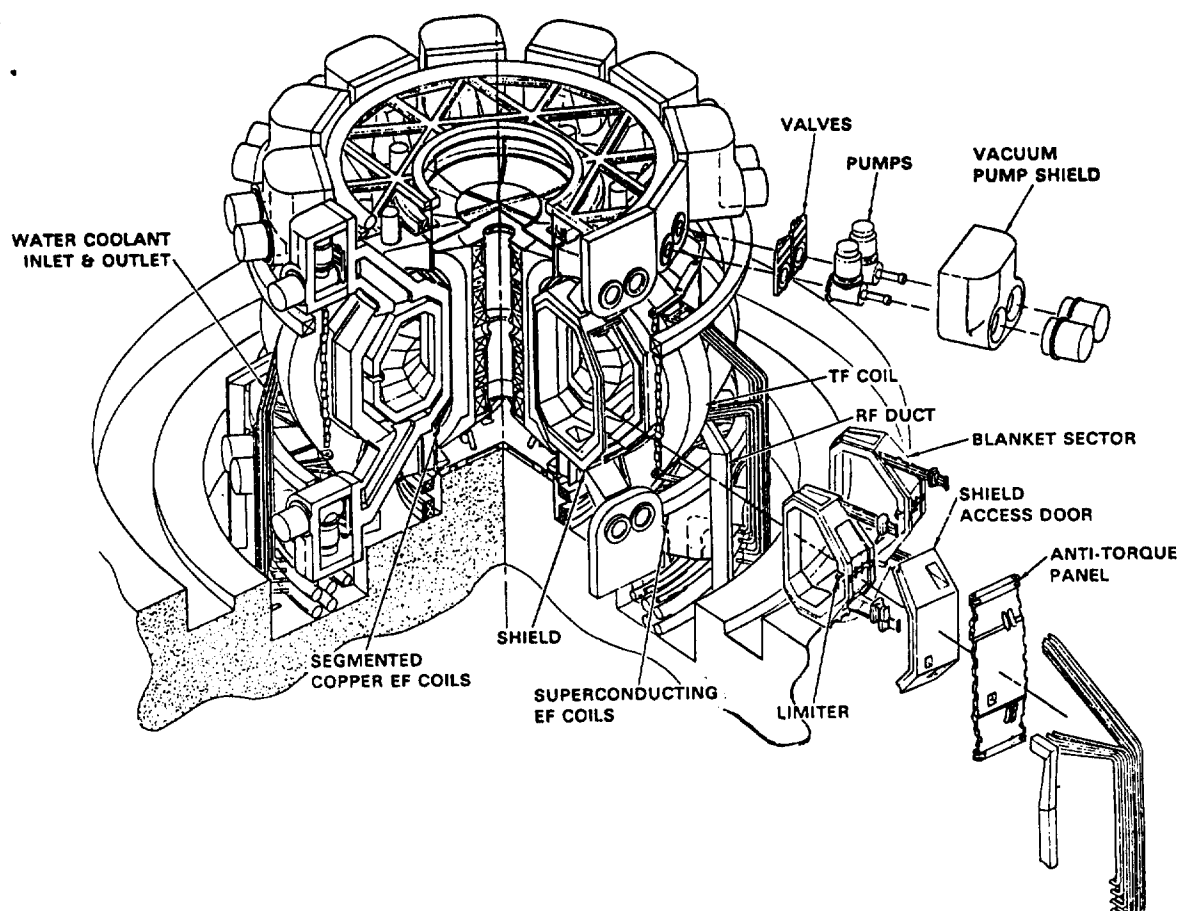


그림 6. STARFIRE reference design

Ⅱ 3. Design characteristics of STARFIRE

| DESIGN FEATURES | IMPACTS |
|--|---|
| Reduce physical size and reactor output | Most compatible with current plant sizes and lower unit costs |
| Steady-state operation | More reliable operation, lower energy costs Higher wall loadings - smaller reactor, lower capital costs No energy storage - lower capital costs Simplified energy conversion system - lower capital costs Reduce size of, or eliminate, OH coil |
| Nondiverter concepts for impurity control and ash removal | Lower capital costs Less complexity - more reliability Improved access for maintenance Higher tritium burnup, lower tritium inventories Reduced neutron streaming |
| Plasma heating technology | |
| Reduce neutral beam energy | Use existing positive ion beam technology |
| RF heating | Reduce neutron streaming Easier interface with blanket/shield Better access for maintenance Reduced shielding costs |
| Startup and shutdown | |
| RF assisted startup | Reduced OH voltage requirements Reduce dB/dt for OH coil Reduce volt-second requirement Permits long startup times with very small or no electrical energy storage |
| Steady-state operation | Permits long startup times with very small or no electrical energy storage |
| Longer startup times (~10s) for pulsed operation | Can use conventional power supply and energy storage technology |
| Maintenance | |
| Modularized first-wall/blanket concept | Simplified maintenance operations with minimum in-reactor operations |
| EF coils outside TF coils | Better access without moving or disconnecting coils |
| Reduce number of TF coils | Better access |
| Location of vacuum boundary at shield | Reduced requirements on first wall Simpler mechanical vacuum seals Easier access |
| Energy conversion | |
| Solid tritium and liquid lead/lithium breeders | Improved safety |
| H ₂ O coolants and PWR and BWR power conversion | Simplified BOP systems Reduce BOP costs |

表 4. Design parameters of the commercial Tokamak reactors

| Design Parameter | NUMAK United States 1979 | Culham IIC United kingdom 1979 | STARFIRE United States 1980 | SPTR-P Japan 1981 |
|---|-----------------------------------|--------------------------------------|--------------------------------------|--|
| Major Plasma Radius (m) | 5.1 | 7.8 | 7.0 | 6.8 |
| Minor Plasma Radius (m) | 1.13 | 2.0 | 1.94 | 2.0 |
| Plasma Elongation | 1.64 | 1.68 | 1.6 | 1.6 |
| Gross Thermal Power (Mw) | 2100 | 1825 | 4000 | 3700 |
| Neutron Wall Loading(Mw/ m ²) | 4.0 | 1.5 | 3.6 | 3.3 |
| Plasma Current (MA) | 7.2 | 11.0 | 10.1 | 16.4 |
| Average Toroidal Beta (%) | 6.5 | 7.7 | 6.7 | 7.0 |
| Burn Pulse Length (s) | 225 | 27 | Continuous | Continuous |
| Plasma Current Drive | None - - - | None - - - | rf 90 MW 1.7 GHz | rf 80 MW |
| Plasma Heating | rf 80 MW, 92 MHz | NBI 86 MW | rf 90 MW 1.7 GHz | rf |
| Toroidal Field (T) | 12 | > 8 | 11 | 12 |
| Impurity Control Method | Gas Blanket | None | Pumped Limiter | Pumped Limiter |
| Structural Material / Coolant | Ti - Al - V/H ₂ O | Stainless Steel / Helium | Stainless Steel/ H ₂ O | Stainless - Steel/ H ₂ O |
| Blanket Breeding Material | Li ₆₂ Pb ₃₈ | Lithium Compound | LiAlO ₂ | Li ₂ O |

에 달하는 것으로推定된다. 이 값은 19世紀 초반에 비해 約 100배가 늘어난 것이다. 21世紀 초반에는 年間에너지 消費量이 약 0.7Q에 달하며 平均的으로 50 TW (10^{12} W)의 動力이 必要할 것으로豫想된다.⁸⁾ ⑩

地球上에서 앞으로 利用可能한 모든 에너지源들의 出力 및 埋藏量을 表 5에서 볼 수 있다. 이 表에 의하면 太陽熱, 核分裂爐 및 核融合爐等이 未來의 動力源으로 계속 活用될 可能성이 가장 높은 것들이라하겠다. 이 중 太陽熱은 單位發電所當 出力を 높이는

表 5. Limits of various energy sources

| Renewable Energy Sources | POWER LIMITS , TW | |
|---|-----------------------|------------|
| | by 2030 | Ultimately |
| Solar Electric , Heating & Cooling | ~ 3 | ~ 100 ? |
| Biomass | 3 | 10 |
| Wind Power | 1 | 3 |
| Wave Power & Tidal Power | 0.1 | 1 |
| Hydroelectric Power | 1.5 | 2.9 |
| Geothermal Power | 0.2 | 0.4 |
| Organic Wastes | 0.1 | 0.1 |
| Practically Recoverable | | |
| Fossil Fuels | | |
| Coal & Lignite (2.35×10^{12} tons) | 53.2×10^{21} | 1690 |
| Crude Oil (2.1×10^{21} barrels) | 12.4×10^{21} | 390 |
| ENERGY LIMITS | | |
| Joules | | |
| Coal & Lignite (2.35×10^{12} tons) | 53.2×10^{21} | 1690 |
| Crude Oil (2.1×10^{21} barrels) | 12.4×10^{21} | 390 |
| TW - years | | |

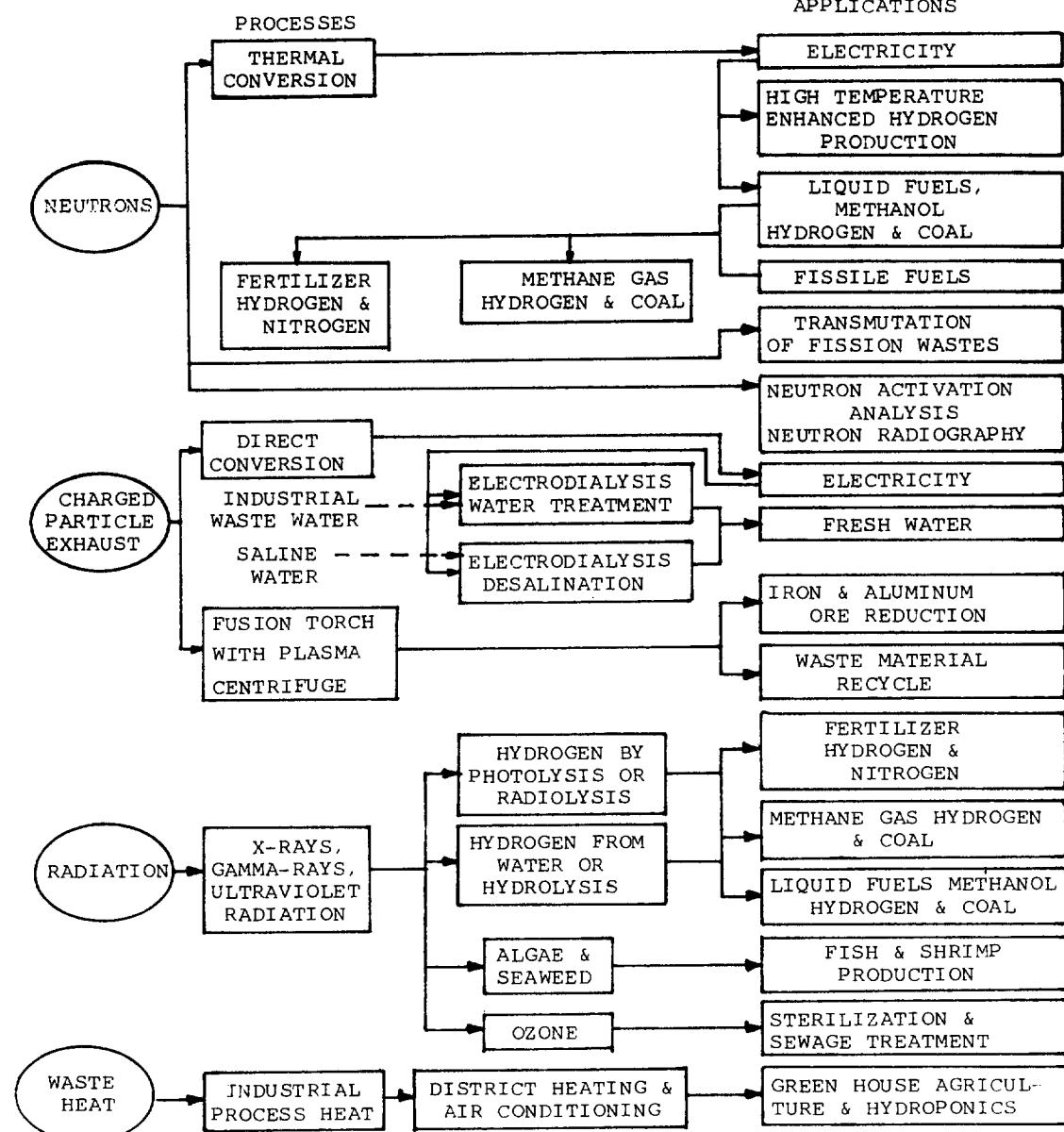
| | | |
|---|-----------------------|--------------------|
| Natural Gas ($3.4 \times 10^{14} \text{ m}^3$) | 13.1×10^{21} | 415 |
| Tar-sand Oil ($3 \times 10^{11} \text{ barrels}$) | 1.8×10^{21} | 57 |
| Shale Oil ($1.9 \times 10^{11} \text{ barrels}$) | 1.1×10^{21} | 35 |
| Total | 81.6×10^{21} | 2590 |
| <u>Nuclear Fission Fuels</u> | <u>Joules</u> | <u>TW - years</u> |
| U - 235 | 10^{22} | 300 |
| U - 238, Th - 232 | $> 10^{25}$ | $> 3 \times 10^5$ |
| <u>Nuclear Fusion Fuels</u> | <u>Joules</u> | <u>TW - years</u> |
| Lithium for DT Reactors on land | 2×10^{24} | 6×10^{-4} |
| in Oceans, Containing 0.17 ppm Li | 2×10^{28} | 6×10^{-8} |
| Deuterium in Oceans | 8×10^{30} | 2×10^{11} |

表 6. Estimated environmental impacts of 1 GWe power plants

| UNIT ENVIRONMENTAL IMPACT | | | | | | |
|---|--------|-------|--------|--------|---------|--------|
| (Per GW yr or GWe) | FOSSIL | SOLAR | LWR | LMFBR | HTGR | FUSION |
| <u>Releases in 2040</u> | | | | | | |
| Heat (10^{12} Btu) | 58.0 | 44.0 | 66.8 | 44.0 | 51.2 | 44.0 |
| <u>Radionuclides</u> | | | | | | |
| Tritium (curies) | 0 | 0 | 33,300 | 1,400 | 36,800 | 1,400 |
| Krypton (curies) | 0 | 0 | 3,480 | 2,080 | 4,370 | 0 |
| Xenon (curies) | 0 | 0 | 48.5 | 0 | 0 | 0 |
| Plutonium (curies) | 0 | 0 | 0.20 | 0.16 | 0.08 | 0 |
| Transuranics (milli-curies) | 0 | 0 | 1.06 | 0.16 | 0.01 | 0 |
| Other (curies) | 0 | 0 | 0.168 | 0.004 | 0.020 | 0 |
| <u>Nonradioactive Materials</u> | | | | | | |
| SO_2 (10^3 tons) | 15.7 | 0 | 0.034 | 0.034 | 0.034 | 0.034 |
| NO_x (10^3 tons) | 36.0 | 0 | 0.076 | 0.076 | 0.076 | 0.076 |
| Chlorine (tons) | 27.0 | 20.0 | 47.1 | 23.4 | 32.9 | 23.4 |
| <u>Radioactive Waste Burials</u> | | | | | | |
| High-Level (Ft^3) | 0 | 0 | 69 | 69 | 63 | 0 |
| Other (Ft^3) | 0 | 0 | 42,000 | 42,000 | 7,500 | 20,000 |
| <u>Radiation Doses (man-rem)</u> | | | | | | |
| General Public | 0 | 0 | 32.5 | 5.2 | 32.0 | 3.2 |
| Employees | 0 | 0 | 600 | 440 | 490 | 600 |
| <u>Plutonium Discharged</u> | | | | | | |
| (metric tons) | 0 | 0 | 0.53 | 2.4 | 0.00004 | 0 |
| Truck Shipments | 0 | 0 | 191 | 111 | 62 | 56 |
| Railroad Shipments | 33.750 | 0 | 30 | 75 | 27 | 0 |
| Land Use (sq. mi.) | 3.0 | 10.0 | 1.30 | 0.67 | 1.0 | 0.63 |
| <u>Material Use</u> | | | | | | |
| U_3O_8 and ThO_2 (10^3 metric tons) | 0 | 0 | 0.230 | 0.030 | 0.163 | 0 |
| Coal (10^6 tons) | 4.0 | 0 | 0 | 0 | 0 | 0 |
| D_2O (metric tons) | 0 | 0 | 0 | 0 | 0 | 0.066 |

데 限界가 있으며 地形, 날씨등의 外部要因에 큰 影響을 받게 되므로 이를 主エネルギー源으로 技하기에는 어려움이 많이 따른다고 할 수 있겠다. 核融合의 경우 核融合反應 및 2次核反應에 의해 核分裂爐에서 와 마찬가지로 放射性物質이 生성되나 低準位이거나 그 生成量이 核分裂爐에 비해 그 生成量이 매우 적어 環境汚染의 問題가 거의 없다.

FORMS OF FUSION ENERGY OUTPUT



한편 核融合爐에서는 核暴走가 發生하지 않는다. 이는 核融合플라즈마 温度가 낮아지거나 어느 程度以上 上昇하면 核融合 反應率이 急激히 減少해 버릴뿐만 아니라 爐心에 들어있는 燃料의 量도 항상 1g 미만으로 維持되기 때문이다.⁹⁾

여러가지 動力爐들이 環境에 미치는 效果를 表 6에서 比較하였다. 各各의 要素들을 全般的으로 比

그림 7. Potential applications of fusion power

較할때 核融合은 太陽熱을 直接利用하는 것 다음으로 環境에 미치는 영향이 적음을 알 수 있다. 核融合에너지가 相對的으로 깨끗한만큼 核分裂爐에 比해서 人口密集地域 가까이에 核融合爐를 建設할 수 있으므로 發電에 의한 動力 이외에도 放射線을 直接利用하거나 廢熱을 利用해서 工場製品生產이나 地域暖房등을 시도 할 수 있다. 그림 7은 核融合에너지의 多樣한 利用可能性을 잘 보여주고 있다.

⑥ 結 論

核融合에너지의 環境汚染面에서의 깨끗함, 資源의 無限性, 用途의 多樣性등에 의해 가장 큰 期待를 모으고 있다. 그러나 核融合商用爐의 建設은 21世紀에 들어 가서나 可能해 질 것으로 展望될 만큼 核融合爐開發에는 많은 技術的인 難題들이 놓여 있다. 反面 이를 克服하기 위한 研究努力도 그만큼 加重되고 있으며 일단 科學的 實證이 86年頃에 實現된 후에는 그 開發速度가 加速化될 可能性도 없지 않다. 一般的으로 核融合爐가 實用化되기까지 投入되어야 할 研究費는 300 억불 程度가 되리라고 豐想하고 있으며 現在 世界的으로 核融合研究에 使用되는 研究費는 年間 約 10 억불 정도에 달하고 있다. 다른 燃料 資源의 經濟성이 減少하면 核融合研究는 더욱 活潑

해 질 것이나 經濟성이 계속 維持된다면 核融合研究는 당분간 踏步狀態에 있게 될 可能性도 있다. 核融合爐의 實用化時期는 技術開發能力以外에 에너지 政策에 의해 오히려 더 크게 左右될 수도 있는 것이다.

참 고 문 헌

- 1) J. R. McNally, Nucl. Tech. /Fusion, 2, (1982) 9
- 2) H. R. Hurlme, Nuclear Fusion, WYKEHAM Publ. (1969)
- 3) S. L. Kahales, etal., Nucl. Tech. /Fusion, 4 (1983), 3
- 4) W. M. Stacey, Nucl. /Fusion, 5 (1984) 266
- 5) R. J. Dowling, Nucl. Eng. & Design /Fusion, 80 (1984) 269
- 6) A. Malein, Nucl. Eng. & Design /Fusion, 1 (1984) 3
- 7) ANL, STARFIRE, ANL/FPD80-1 (1980)
- 8) T. J. Dolan, Fusion Research, Pergamon (1982)
- 9) F. E. Coffman, etal., Fusion Power (Q & A), ERDA 77 - 63 (1977)